

8-羟基喹啉-乙基紫萃取 光度法测定痕量钍

吕耀忠 姚改霞 贾建燮

(山西大学化学系, 太原)

本文用萃取光度法研究了Th(IV)-8-羟基喹啉-乙基紫离子缔合体系的显色反应, 提出了一个新的高灵敏的测定痕量钍的显色体系, 探讨了缔合物的形成条件, 并进行了合成试样中钍的测定。

关键词 碱性染料, 萃取光度法; 乙基紫, 8-羟基喹啉, 缔合物, 甲基异丁基酮(MIBK)。

一、引言

痕量钍的测定, 常用钍试剂法, 其摩尔吸光系数是 $1.7 \times 10^4 l \cdot mol^{-1} \cdot cm^{-1}$ ^[1]。碱性染料萃取光度法已用于测定各种金属元素^[2-4]。但用三苯甲烷类碱性染料乙基紫测定痕量钍(IV)尚未见文献报道, 本文在所研究的体系中应用了显色剂乙基紫。

我们发现在弱酸性介质中, Th(IV)-8-羟基喹啉-乙基紫体系可发生显色反应, 生成易被苯:MIBK(3:1)混合溶剂萃取的兰色离子缔合物, 其摩尔吸光系数高达 $7.5 \times 10^5 l \cdot mol^{-1} \cdot cm^{-1}$, 为用光度法测定痕量钍提出了一个新的高灵敏的显色体系。本文研究了离子缔合物的形成条件, 其它离子的干扰, 并用于合成试样中Th(IV)的测定。

二、实验部分

1. 试剂和仪器

钍标准溶液^[5], 准确称取硝酸钍[Th(NO₃)₄·4H₂O] 2.3794g溶于200ml 1:4盐酸中, 溶解后移入1000ml容量瓶中, 用1:4盐酸稀释至刻度, 此溶液每毫升含1mg钍, 使用时用蒸馏水稀释成2μg Th/ml。

乙基紫溶液, Gurr进口分装, 先配成0.3%水溶液, 再稀释成0.06%的溶液。

8-羟基喹啉, 浓度为0.50mol/l及甲基异丁基酮(MIBK), 上海化学试剂采购供应站产品; 硫酸, 浓度为0.050mol/l(基准Na₂CO₃标定); 苯, 北京化工厂产品; 其它试剂均为分析纯; 电热蒸馏器的蒸馏水。

1988年7月18日收到, 1988年12月6日收到修改稿。

日本日立220A型UV-VIS双光束分光光度计；721型分光光度计。

2. 实验方法

在25mL比色管中，准确加入1.00mL 2μg/mL的钍标准液，0.4mL 0.5mol/L 8-羟基喹啉，0.7mL 0.05mol/L的硫酸，3.0mL 0.06%的乙基紫，用蒸馏水稀释至10mL并摇匀，然后加10.00mL苯:MIBK (3:1) 混合萃取溶剂，摇荡1.0min，静置分层后，将有机相转入盛有约0.5g无水硫酸钠的称量瓶中，干燥20min后倾入1.0cm的比色皿中，以试剂空白作参比，在220A型分光光度计上扫描吸收曲线，在721型分光光度计上于607nm处测量其吸光度。

三、结果与讨论

1. 缩合物的形成条件

(1) 吸收曲线 在操作条件下进行扫描，结果示于图1。

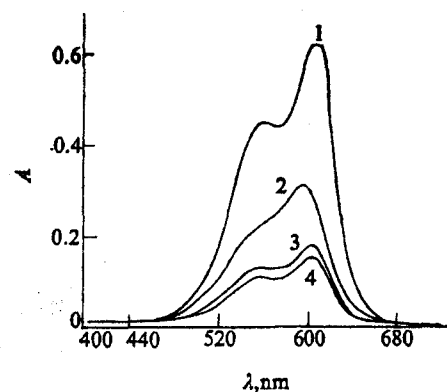


图1 吸收光谱图

- 1 ——缩合物／试剂空白， $\lambda_{\text{max}} = 607 \text{ nm}$ ；
- 2 ——乙基紫水溶液／水， $\lambda_{\text{max}} = 595 \text{ nm}$ ；
- 3 ——Th⁴⁺-乙基紫萃取液／试剂空白， $\lambda_{\text{max}} = 604 \text{ nm}$ ；
- 4 ——乙基紫萃取液／萃取剂， $\lambda_{\text{max}} = 603 \text{ nm}$ 。

10^{-3} mol/L 时，吸光度高且稳定，故本文选用水相中硫酸浓度为 $3.5 \times 10^{-3} \text{ mol/L}$ 。

(3) 8-羟基喹啉浓度的选择 实验方法同前，水相中硫酸浓度固定在 $3.5 \times 10^{-3} \text{ mol/L}$ ，仅改变水相中8-羟基喹啉的浓度，实验结果如图3所示。由图3可知，8-羟基喹啉浓度在 $0.015 \sim 0.025 \text{ mol/L}$ 范围内吸光度高且稳定，本文选用水相中8-羟基喹啉浓度为 0.020 mol/L ，即加入 0.5 mol/L 8-羟基喹啉 0.4 mL 。

(4) 乙基紫浓度的选择 改变乙基紫用量，绘制曲线，如图4所示。由图可见，乙基紫浓度在 $1.8 \times 10^{-2} \sim 2.4 \times 10^{-2} \%$ 范围内吸光度高且稳定。本文选用 $1.8 \times 10^{-2} \%$ 作为乙基紫的适宜浓度，即加入 0.06% 乙基紫 3.0 mL 。

(5) 萃取振荡时间的选择 本文选用1min。

(6) 缩合物的稳定时间 缩合物的吸光度在110min内基本为定值。

(7) 萃取剂的选择 曾对24种溶剂及混合溶剂进行了实验，如：苯，甲苯，二甲苯，环己烷，环己烷:TBP (2:1)，乙酸丁酯，乙酸正戊酯，乙酸异戊酯，苯:MIBK(1:1)，苯:MIBK

(2) 酸度的影响 按基本的实验方法，改变水相中硫酸浓度，实验结果示于图2。由图2可知水相中硫酸浓度为 $2 \times 10^{-3} \sim 4 \times$

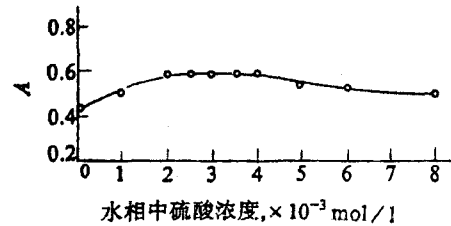


图2 酸度的影响

- $[\text{Th}] = 2 \mu\text{g}/10\text{mL}$ ；
- $[8\text{-羟基喹啉}] = 0.025 \text{ mol/L}$ ； $L = 1 \text{ cm}$ ；
- $\lambda_{\text{max}} = 607 \text{ nm}$ ；
- 乙基紫 $= 1.8 \times 10^{-2} \%$ 。

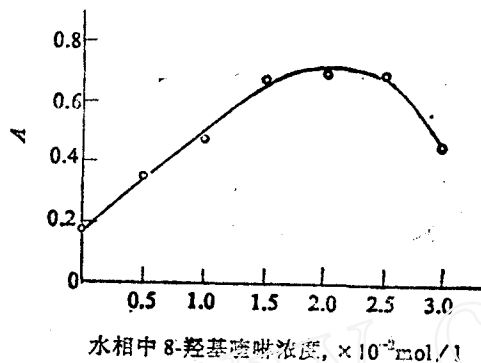


图3 8-羟基喹啉浓度的选择

$[T_h] = 2\mu\text{g}/10\text{ml}$; $[\text{乙基紫}] = 1.8 \times 10^{-2}\%$;
 $L = 1\text{cm}$; 硫酸浓度 $= 3.5 \times 10^{-3}\text{mol/l}$;
 $\lambda_{\max} = 607\text{nm}$.

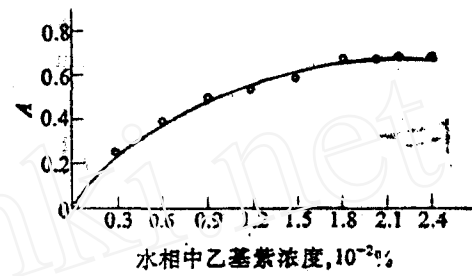


图4 乙基紫浓度的影响

$[T_h] = 2\mu\text{g}/10\text{ml}$; $[8-\text{羟基喹啉}] = 0.020\text{mol/l}$;
 $L = 1\text{cm}$; 硫酸浓度 $= 3.5 \times 10^{-3}\text{mol/l}$;
 $\lambda_{\max} = 607\text{nm}$.

(2:1), 苯:MIBK (3:1), 苯:MIBK (4:1), 苯:丁酮 (3:1), 苯:丁酮 (4:1) 等, 其中一些溶剂作为萃取剂缔合物的吸光度太低, 而在另一些溶剂中空白值较大。上列溶剂有三种萃取效果较好 (详见表1), 并绘制工作曲线如图5所示。本文选苯:MIBK(3:1)作为萃取剂。

表1 三种萃取剂比较

有机萃取剂	λ_{\max} , nm	表现摩尔吸光系数, $l \cdot \text{mol}^{-1} \cdot \text{cm}^{-1}$	遵守比尔定律的 测量范围, μg
苯 : MIBK = 3 : 1	607	7.5×10^5	0—4.5
苯 : 丁酮 = 3 : 1	607	7.83×10^5	0—3.0
苯 : 丁酮 = 4 : 1	607	5.80×10^5	0—4.5

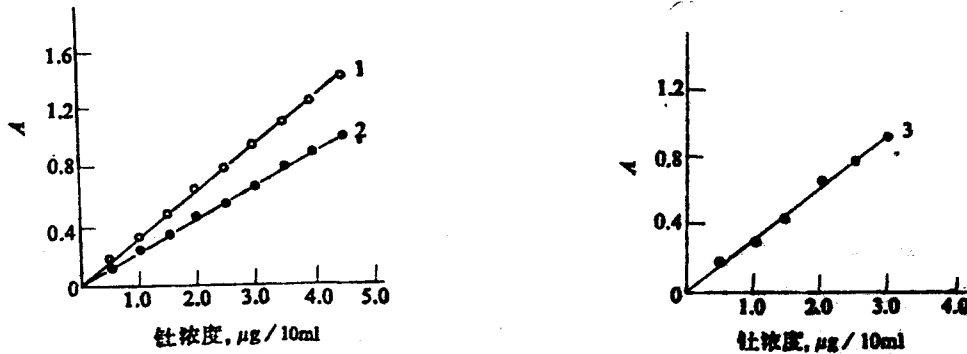


图5 三种不同萃取剂所得工作曲线

1——苯 : MIBK = 3 : 1 作萃取剂; 2——苯 : 丁酮 = 4 : 1 作萃取剂; 3——苯 : 丁酮 = 3 : 1 作萃取剂。
 $[8-\text{羟基喹啉}] = 0.020\text{mol/l}$; $[\text{乙基紫}] = 1.8 \times 10^{-2}\%$; $L = 1\text{cm}$;
 $\lambda_{\max} = 607\text{nm}$; $[\text{H}_2\text{SO}_4] = 3.5 \times 10^{-3}\text{mol/l}$.

2. 标准曲线绘制和精密度的检验

根据以上选定的条件, 拟定绘制标准曲线的操作步骤如下: 准确移取不同量的钍标准溶液分别置于25ml比色管中 (以下操作同实验方法), 在721型分光光度计上于607nm处, 以

试剂空白作参比，测量吸光度。绘制的标准曲线如图6所示。

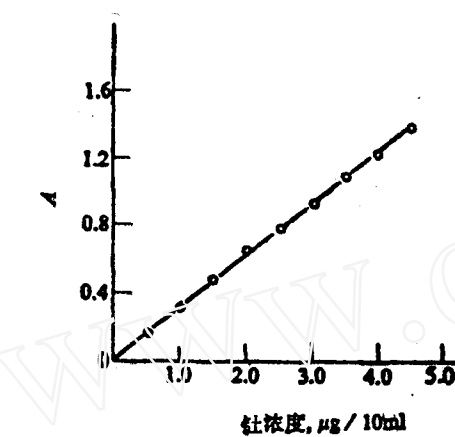


图6 标准曲线

[8-羟基喹啉] = 0.020mol/l;
 [乙基苯] = 1.8×10^{-2} %; L=1cm;
 [H₂SO₄] = 0.0035mol/l; $\lambda_{\text{max}} = 607\text{nm}$.

曾研究了32种离子及4种络合剂的影响和它们的允许限量。实验方法为：取2μg/ml的钍标准液1.00ml，加入不同量的共存离子，其它试剂同前，测量吸光度，结果列入表2和表3。

表2 共存离子的影响*

共存离子	加入形式	加入限量, μg	钍回收量, μg	相对误差, %
K ⁺	无水K ₂ SO ₄	1000	2.10	4.8
Al ³⁺	Al ₂ (SO ₄) ₃ ·18H ₂ O	20	2.02	0.9
Ag ⁺	AgNO ₃	0.40	2.02	1.2
Ni ²⁺	NiCl ₂ ·6H ₂ O	1	2.05	2.6
Sn ⁴⁺	SnCl ₄ ·5H ₂ O	2.5	2.07	3.4
Ca ²⁺	CaCl ₂	10	2.09	4.6
Ba ²⁺	BaCl ₂ ·2H ₂ O	70	1.98	-0.76
Hg ²⁺	HgCl ₂	0.6	2.00	0
NH ₄ ⁺	NH ₄ Fe(SO ₄) ₂	50	1.95	-2.4
Zr ⁴⁺	ZrOCl ₂	30	2.05	2.6
Mg ²⁺	MgSO ₄ (无水)	20	2.03	1.7
Mn ²⁺	MnSO ₄ ·H ₂ O	100	1.95	-2.4
Cr ⁶⁺	K ₂ CrO ₄	20	1.97	-1.6
Co ²⁺	CoSO ₄	750	2.05	2.6
Zn ²⁺	ZnSO ₄	100	2.05	2.6
Cu ²⁺	CuSO ₄	500	2.09	4.6
Cd ²⁺	CdSO ₄ ·8H ₂ O	160	2.08	4.2
Cr ³⁺	Cr ₂ (SO ₄) ₃	250	2.08	4.2
UO ₂ ²⁺	UO ₂ (NO ₃) ₂	0.004	2.06	2.9
Na ⁺	Na ₂ SO ₄	100	2.08	4.6
Ce ⁴⁺	Ce(SO ₄) ₂	8	2.06	2.9
Sr ²⁺	SrCl ₂	40	2.07	3.4
Pb ²⁺	Pb(NO ₃) ₂	160	1.94	-3.2

由图6可见，钍含量在0—4.5μg/10ml之间吸光度与溶液中钍含量成线性关系，遵守比尔定律，由线性回归法求得回归方程为 $y = 0.0319 + 0.301x$ ，相关系数 $r = 0.9993$ ，其表观摩尔吸光系数 $\epsilon_{607\text{nm}} = 7.5 \times 10^6 \cdot \text{mol}^{-1} \cdot \text{cm}^{-1}$ ，桑德尔灵敏度为 $3.1 \times 10^{-4} \mu\text{g}/\text{cm}^2$ 。

本法精密度检验：在以上条件实验的基础上，取含钍2μg/ml的标准液1.00ml，显色萃取后测量吸光度值，重复9次，9个吸光度值的极限值为0.610—0.675，平均值为0.644，单次测量值的标准偏差为±0.024，相对标准偏差为±3.7%。

3. 共存离子的干扰

续表2

共存离子	加入形式	加入限量, μg	钍回收量, μg	相对误差, %
V^{3+}	NH_4VO_3	3	1.94	-3.2
Cl^-	NaCl	10	1.93	-3.7
NO_3^-	NaNO_3	0.7	2.10	5.1
Br^-	NaBr	4.5	2.02	1.2
Ac^-	NaAc	15.8	2.07	3.4
F^-	NH_4F	17	2.09	4.6
SO_4^{2-}	Na_2SO_4	12	2.00	0
ClO_4^-	KClO_4	0.6	2.09	4.6
B^{3+}	H_3BO_3	17.5	1.95	-2.4

* 钇含量2 μg 。

表3 络合剂的影响*

络合剂	EDTA	CYDTA	酒石酸	柠檬酸
加入限量, μg	50	5	540	175
测得钍量, μg	2.03	2.05	2.05	1.95
相对误差, %	1.7	2.6	2.6	-2.4

• 钇含量2 μg 。

由表2, 表3可见, Ag^+ , Hg^{2+} , UO_2^{2+} , ClO_4^- 等离子在本体系中对钍的测定干扰较严重, 而酒石酸允许量较大。

4. 合成试样中钍的测定

移取1.0ml合成试样于25ml比色管中, 按前述实验方法显色萃取后, 测其吸光度, 并由标准曲线查得钍含量, 计算回收率, 结果列入表4。

表4 合成试样中钍含量的测定结果*

样 号	样品组成, %								测得钍含量, μg	平均 值	测得钍 组成, %	回收 率, %	
	Th^{4+}	Cu^{2+}	Mg^{2+}	Zn^{2+}	Hg^{2+}	Co^{2+}	Cd^{2+}	Cr^{3+}					
1	100								1.95, 1.98, 2.03	1.99	99.5	99.5	
2	11.8	29.4	58.8						2.02, 2.05, 2.07	2.05	12.1	102.5	
3	2.99	7.46	14.9	74.6					2.12, 2.12, 1.85	2.02	3.03	101	
4	2.97	7.43	14.9	74.6	0.45				1.92, 2.10, 1.84	1.95	2.99	97.5	
5	0.38	0.96	1.91	9.57	0.057	71.8	15.3		1.90, 2.10, 2.03	2.01	0.382	100.5	
6	0.309	0.772	1.54	7.72	0.046	57.9	12.4	19.3	3.09×10^{-4}	1.92, 1.87, 1.96	1.92	0.296	95.8

* 钇含量2 μg 。

参 考 文 献

- [1] 张孙玮等, 有机试剂在分析化学中的应用, 科学出版社, 1981年, 第236页。
- [2] Ramakrishna, T.V., Shreedhara, R.S., *Talanta*, 27 (5), 442 (1980)。
- [3] 许生杰, 分析化学, 7(3), 235(1979)。

- [4] 吕耀忠等, 核化学与放射化学, 9(3), 156(1987).
 [5] 岩石矿物分析编写组编, 岩石矿物分析, 北京, 地质出版社, 1974年, 第543页。

EXTRACTION SPECTROPHOTOMETRIC METHOD FOR THE DETERMINATION OF TRACE THORIUM USING 8-HYDROXYQUINOLINE AND ETHYL VIOLET

LU YAOZHONG YAO GAIXIA JIA JIANWEN

(Department of Chemistry Shanxi University, Taiyuan)

ABSTRACT

A new highly sensitive colour system for thorium is developed. An association complex of thorium ion is formed with 8-hydroxyquinoline and ethyl violet having absorption maximum at 607nm. The complex can be extracted into 10ml of a mixture of benzene and MIBK (3:1) in 1 min. Its apparent ϵ value is $7.5 \times 10^{51} \cdot \text{mol}^{-1} \cdot \text{cm}^{-1}$ at 607nm. Optimum conditions for the extraction have been found to be $3.5 \times 10^{-3} \text{ mol/l}$ sulfuric acid, 0.020 mol/l 8-hydroxy-quinoline and 0.018% ethyl violet. Beer's law is obeyed for 0—4.5 μg of thorium per 10ml. The colour of the extract is stable in 110minutes at room temperature. The effects of 32 foreign ions and 4 complex reagents on the determination are discussed.

Key words Basic dyes, Extraction spectrophotometric method, Ethyl violet, 8-hydroxyquinoline, Association complex, MIBK.